

## ԿԱՎԻ ՍՈՂՔԻ ՖԻԶԻԿԱԿԱՆ ՏԵՍՈՒԹՅՈՒՆՆԵՐԻ ՄԱՍԻՆ

Յիզիկս ՄՎԵՏԱՆԱ. ՄԻՄՈՆՅԱՆ

Ռեժիսոր է կամիր սողքի տեսությունների համառոտ ակնարկի Նշվում են երեխ-վլութաբանական տեսությունների առանձահատկությունները, նրանց առավելությունները և սահմանափակումները, Դիտված են էյրինգի կինեալի ընթացքների տեսության վրա հիմնված կամիր սողքի որոշ ֆիզիկական տեսությունները: Նկարագրված են էյրինգի, Մուրայամյայի, Միտչելի, Վլալովի և Տեր-Մանեկանի ֆիզիկական տեսություններում պարզմակելող յուրահատկությունները, ֆիզիկական նախադրյալները և հիմնական մաթեմատիկական առնչությունները: Ցույց է տրված գրունտի կառուցվածքի և սողքի ժամանակ նրա փոփոխման հաշվառման կարենոր նշանակությունը:

————— ■ —————

Գրունտի սողքի ուսումնասիրությունը գործնական և տեսական մեծ նշանակություն ունի: Սողքի ձևափոխության ընթացքի վրա ժամանակի դերի մասին դեռ 1931 թ. նշել էր Տերզագին (Terzaghi, 1931), բայց այդ հանգամանքի վրա քիչ ուշադրություն էր դարձվում: Միայն վերջին երկու տասնամյակում այս կարևոր հարցին նվիրված լույս տեսան մի շաբթ աշխատանքներու շարցի էլությունը նրանում է, որ գրունտի լարված փոփոխման դեպքում ձևափոխությունները չեն հետևում անմիջապես, այլ որոշ ուշացումով: Եթե լարումները չեն գերազանցում որոշ արժեքին, ապա ձևափոխությունը ժամանակի ընթացքում մարում է նկ. 1, գիծ I: Եթե լարումները գերազանցում են որոշ սահմանային արժեքներ, ապա սողքի կորագիծն ունենում է ավելի բարդ տեսք (նկ. 1, գիծ II): Այն կազմված է երկու տարբեր հատվածներից՝ ակնբարային ձևափոխությունից, որը կատարվում է մասնիկների բյուրեղային վանդակներում ձայնի արագությամբ և բաղկացած է առաձգական ու ոչ առաձգական բաղադրիչներից և մածուցիկ ձևափոխությունից, որը կապված է զլամալորապես մասնիկների միջև կապերի քանդման ու առաջացման և ազտորբացված զրի մածուցիկ տեղափոխման հետ: Ըստ ավանդական տրամաբանության այդ կորագիծը ստորաբաժանվում է՝ ОА փուլի, երբ ձևափոխությունը մարում է (առաջնային, մարող կամ հաստատված սողք). ԱՅ փուլի, երբ ձևափոխությունը կատարվում է հաստատող արագությամբ (հաստատված սողք). ԵՎ փուլի, երբ սողքն արագանում և ավարտվում է բարդացումով (երրորդային, չմարող սողք կամ առաջնային բարդացում):

Հարցի լուսաբանման համար առաջարկվել են բազմաթիվ տեսություններ, որոնք ընդհանրապես կարելի է ստորաբաժանել երեսութաբանական և ֆիզիկական տեսությունների:

<sup>1</sup> ՀԱՅՀ ԳԱ ԳիՍԻ գեռմեխանիկայի լարուատորիայի ավագ ինժեներ:

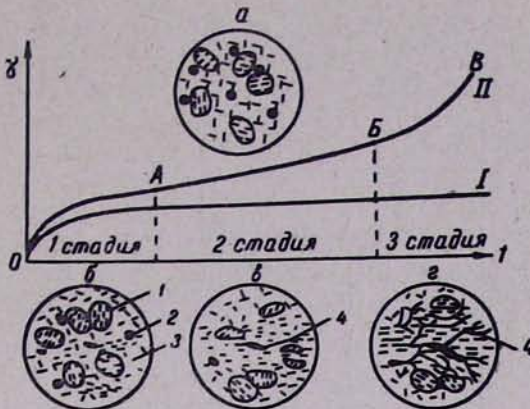
նկ. 1. Սողքի կարագեցերի ավանդական մէկնարանումը միջակա (I) և բարձր (II) շաշափառ լրաւաների դպրում։ OA—ակնթարթային դեֆորմացիա և մարող կամ ասացնային (ոչ կարոնացած) սողք։ AB—հաստատում կամ երկրորդական (կալոնացած) սողք։ BB—արագացող կամ երկրորդական սողք (առաջնայից բարելավում)

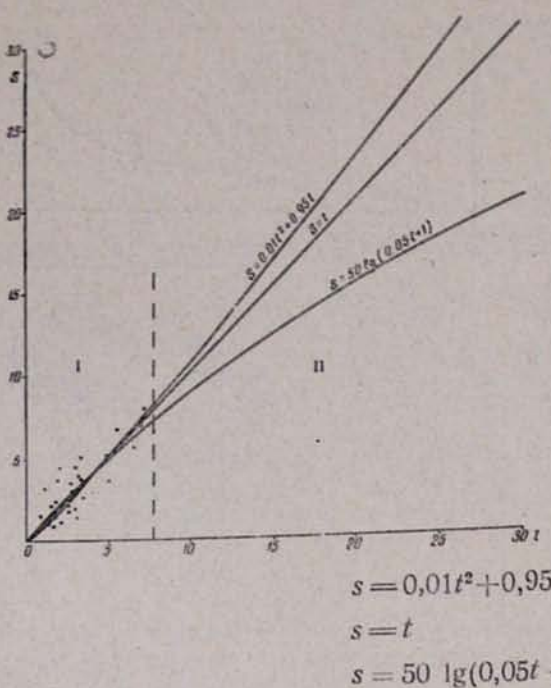
Рис. 1. Традиционная интерпретация кривых ползучести при промежуточном (I) и высоком (II) уровне касательных напряжений. OA—мгновенная деформация и затухающая или первичная (неустановившаяся) ползучесть. AB—постоянная или вторичная (установившаяся) ползучесть. BB—ускоряющаяся или третичная ползучесть (прогрессирующее разрушение).

Fig. 1. Traditional interpretation of creep curves at intermediate (I) and high (II) shear stresses. OA—instantaneous strain and damping or primary (non-stationary) creep; AB—constant or secondary (stationary) creep; BB—accelerating or tertiary creep (progressive failure).

#### ԵԲԽՈՒԹԱԲԱՆԱԿԱՆ ՏԵՍՈՒԹՅՈՒՆՆԵՐ

Երկութաբանական տեսությունները հիմնված են փորձարկման ընթացքում նյութի վարքի վերլուծման վրա։ Սահմանված պայմաններում կատարված փորձերի արդյունքները ներկայացվում են գրաֆիկների տեսքով և համապատասխան մաթեմատիկական մշակման միջոցով դանում են նյութի վարքի բանաձևերը։ Այդ բանաձևերի նպատակն է ցույց տալ կազմը հիմնական սեղութիւնական մեծությունների՝ լարման, ձևափոխության և ժամանակի միջև։ Հարցի լուծման այսպիսի մոտեցման առավելությունը նրանում է, որ ընթացքը նկարագրվում է ընդհանրացված (ինտերպալ) ձևով, այսինքն ամեն մի գործոնի ազդեցությունն արտացոլվում է փորձի արդյունքներում իր փաստական ներդրությամբ։ Այդ մատեցումն իրեն արդարացնում է ինժեներական բազմաթիվ ընագալառներում, սակայն ունի էական թիրություններ։ Առաջինը ֆիզիկական իմաստի բացակայությունն է, չնայած երբեմն բանաձևերում այս կամ այն գործակցին տրվում է ֆիզիկական իմաստն արտահայտող անվանում։ Այդ թերությունը հատկապես նկատելի է դառնում, եթե այդ մեծությունը հանդես է դալիս որպես կոտորակային աստիճանացույց։ Երկրորդ լուրջ թերությունն այն է, որ փորձերն անխուսափելիորեն կապված են փորձի արդյունքների չափման որոշ սխալների հետ և դրաֆիկների վրա կետերը դասավորվում են որոշ ցրումով։ Կետերի այդպիսի բազմության միջով կարելի է անցկացնել անվերջ շատ կորագեցեր։ Նման զենքերում ավելի հեշտ վերլուծման համար ձգտում են ընտրել հանրահաշվային պարզ բանաձևեր։ Այս մոտեցումն իրեն լրիվ արդարացնում է այն դեպքում, եթե փորձերում վերցրած անկախ փոփոխական գործոնի ինտերվալը (օրինակ՝ լարում, շերմաստիճան) համապատասխանում է գործնականում բանաձևի կիրառման ինտերվալին, կատարվում է ընդմիջարկում (ինտերպոլացիա)։ Նկ. 2-ի վրա կետերով ցույց են տրված փորձերի արդյունքները (տիրույթ I)։ Երևում է, որ այդ արդյունքները կարող են նույն հաջողությամբ նկարագրվել մի շարք բանաձևերով, օրինակ՝





նկ. 2. Կարեն ժամանակամիջոցամ կուտաված փորձերի աշխատելու և երանց ամփափամբ ենք կառապետի օգնությամբ: I—փորձերի ալիրութը (կատարման է ինտերպուլացիա): II—կանխադրութակման տիրույթ (կատարման է էքստրապուլացիա):

Рис. 2. Результаты кратковременно проведенных опытов и их интерпретация с помощью трех кривых. I—область эксперимента (интерполяция). II—область прогноза (экстраполяция).

Fig. 2. Short-term creep test results and their interpretation by three curves. I—domain of tests (interpolation); II—domain of prognoses (extrapolation).

որտեղ  $t$ -ն ժամանակն է,  $s$ -ը ձևափոխությունը: Եթե  $t=5$ , ապա երեք բանաձեռն էլ տալիս են համարյա նույն արդյունքները՝ (1) և (2) բանաձեռն տալիս են 5, իսկ բնձ. (3) տալիս է 4,85: Նշված բանաձեռները երկարատև ժամանակում արտամիջարկելիս (էքստրապուլացիա) տալիս են բոլորումն տարրեր արդյունքներ՝ օրինակ, եթե  $t=100$ , բանաձեռ (1) տալիս է 195, (2)-ը՝ 100, իսկ (3)-ը տալիս է 38,91: Սոզերի ուսումնասիրման գեպքում արտամիջարկումը լինում է շատ ավելի մեծ քան նշված օրինակում: Հրատարակված փորձերի մեծամասնության տեսողությունը չափվում է բազեներով կամ ժամերով, իսկ հողային կառուցվածքները (երկաթուղային լիցքեր և հանվածքներ, հիդրոտեխնիկական ամբարտակներ, խոշոր շենքերի հիմքեր և այլն) պիտք է կայուն մնան հարյուրավոր տարիներ:

#### ՖԻԶԻԿԱԿԱՆ ՏԵՍՈՒԹՅՈՒՆՆԵՐ

Ավելի հեռանկարային են սոզերի վերլուծման այն տեսությունները, որոնք հիմնված են երեսութի ֆիզիկական էության ուսումնասիրության վրա: Ֆիզիկական տեսություններն անմիջական կազ են ստեղծում ֆիզիկական մեծությունների և փորձի արդյունքների միջև Դիսպերսու համար, ինչպես գրուտներն են, ֆիզիկական տեսությունների մշակումը սկզբում փորձն ունի զգալի դժվարություններ, քանի որ գրուտի վարքի վրա ազդում են տարրեր բնույթի բաղմաթիվ դործոնները: Այդ դործոնների մի մասի բնույթը լավ է ուսումնասիրված և հնարավոր է փակ ձևով մաթեմատիկորեն արտահայտել նրանց ազգեցությունը (ծակոտիչնային ճնշումը, էֆիկատիվ լարումների մեծությունը), մյուսների ֆիզիկական բնույթը կարող ենք ենթադրել, բայց բանաձևով արտահայտել չկարողանալ (դիֆուզիված շերտում տարրերի փոխազդեցությունը միմյանց միջև և մասնիկի հետ, հողմնահարման բնթացքում դիա-

գենետիկ կապերով փակված ձևափոխության էներգիայի ազատում), իսկ շատերի առկայության մասին էլ կան միայն ենթադրություններ. Ֆիզիկական աხտության ճշտության լամբանիշը կիրակ նրա համապատասխանելը փորձին:

## ԵՐԻՒԱՆՈՒՅՆ

Մինչև այժմ առաջարկված ֆիզիկական տեսությունները հիմնվում են էլեկտրական դաշտի վնասագրերի տեսության վրա (Գլեստոն և դր., 1948): Էլեկտրական դաշտի վնասագրերը կամ մածուցիկությունը պիճակագրական մեխանիկայի մեթոդներով. նաև ենթադրել է, որ հեղուկներում գոյություն ունեն «անցքեր» կամ մոլոկուլների գասավորման անկանոնություններ, որոնք ձևափոխության ընթացքում զբաղեցվում են հարեւն մոլեկուլների կողմից: Այդ տեսությունը այժմ կիրառվում է գրունտի ձևափոխման մածուցիկ բացադրիչի վերլուծման համար: Հայտնի է, որ շերմային էներգիայի ազդեցության ատակ մոլեկուլը կատարում է շերմային տատանումներ իր հավասարակշռության դիրքի շուրջը  $K/T$ ի հաճախականությամբ, որտեղ  $K$  Բոլցմանի հաստատումն է,  $k = 1,38 \cdot 10^{-16}$  էրգ  ${}^{\circ}\text{К}^{-1}$ ,  $h\cdot\sigma$  Պլանկի հաստատումն է  $h = 6,626 \cdot 10^{-27}$  էրգ. վրա,  $T$ -ն բացարձակ շերմաստիճանն է  $K^0$ -ով: Այս տատանումներին մասնակցող ատոմները և մոլեկուլները կոչվում են հոսում տարրեր:

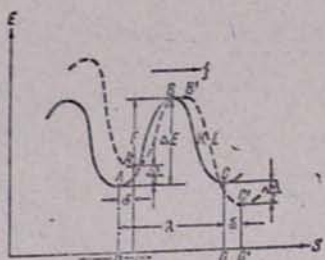
Սակայն կատարելով շերմային տատանումներ, հսուն տարրը գտնվում է հավասարակշռության վիճակում շնորհիվ էներգետիկ բարիերների առկայության. դրանք բաժանում են հավասարակշռության դիրքերը (նկ. 3): A և C հավասարակշռության դիրքերը համապատասխանում են պոտենցիալ էներգիայի նվազագույն արժեքին: A հավասարակշռության դիրքից C հավասարակշռության դիրքին անցնելու համար մոլեկուլը պետք է հաղթահարի էներգետիկ ձեւ բարիերը: Հոսուն տարրի նոր հավասարակշռության դիրքին անցման համար պահանջվում է ակտիվացում: Դրա համար նա կալնում է ՁԵ էներգիան և անցնում է բարիերը: ՁԵ-ի աղբյուրն է ակտիվացման ազատ էներգիան: Ակտիվացման էներգիայի աղբյուրներից մեկն ատոմների և մոլեկուլների շերմային շարժումն է: Այդ էներգիայի ակնթարթային արժեքները կարող են անընդհատ փոխվել: Մասնիկների միջև էներգիայի բաշխումը որոշվում է Մաքսվել-Բոլցմանի հավասարումով, որը ցուց է տալիս այն բանի pE հավանականությունը, թե էներգիան կարող է հավասար կամ մեծ լինել: ՁԵ մեծությունից, pE=C exp(-ΔE/kT), որտեղ, ըստ Էյրինգի,  $C \approx 1$ : pE մեծությունը կարելի է դիտել որպես հավանականություն տվյալ միջմասնիկային կապի ակտիվացման համար՝ նրա խցումը բավարարող էներգիայով: Դա կարելի է դիտել նաև իրքն հոսուն տարրերի այն մասը, որոնք օժտված են բավարար էներգիայով էներգետիկ բարիերի հաղթահարման համար:

Հետևաբար այն հաճախականությունը, որով յուրաքանչյուր կապը կլանում է ազատ շերմային էներգիան  $\Delta E$  էներգետիկ բարիերի հաղթահարման համար կլիինի:

$$v_1 = (kT/h) \exp(-\Delta E/kT), \quad (4)$$

սուսեղ ԾԷ-Ն մեկ հոսուն տարրին բաժին ընկնող ակտիվացման էներգիան է

Կապի ջերմային ակտիվացումից հետո հոսուն տարրերը հնարավորություն են ստանում ազատ տեղաշարժմել դևիպի նոր հավասարակշռության դիրքը։ Քանի որ կապերի ջերմային ակտիվացումը կատարվում է միևնույն



(пунктирная линия  $L$ , когда действует касательная сила  $f$ ). Абсциссы—перемещения  $s$ , ординаты—энергия активации  $E$  на одну молекулу.

Fig. 3. Energy barriers in a flow unit, separating adjacent equilibrium positions  $O$  (solid line  $K$  if no external force is acting) or  $O'$  (dotted line  $L$ , if the shear force  $f$  is acting). Abscissas—displacements  $s$ , ordinates—activation energy  $E$  per one molecule.

Հաճախականությամբ բոլոր ուղղություններով, ապա գրունտի որոշակի ուղղությամբ տեղաշարժ տեղի չի ունենաւ և մասնիկը մնում է տեղում: Բայց դա միայն մոլեկուլի տարածման գերադասելի ուղղության բացակայությամբ չի կարելի բացատրել: Այստեղ մեծ դեր է խաղում նաև ակտիվացման մակարդակը: Այս մակարդակը պետք է բավարար լինի առաջընթաց խղման համար: Եթե այդպես չլիներ, ապա գրունտը կներկայացներ խղմած կապերով մասնիկների կուտակում, որն իրականում գոյություն չունի:

Ակտիվացման էներգիայի երկրորդ ազդյուրը կիրառված արտաքին ուժի պոտենցիալ էներգիան է: Հոսուն տարրի վրա ազդող միջին  $f$  ուժի<sup>2</sup> ազդեցության տակ էներգիայի բարիերն աղճատվում է և կորագիծը  $K$  տեսքից կրնդումի  $L$  տեսքը: Էներգիայի նվազագույն արժեքները  $A$  կետից կանգափոխվեն  $A'$  կետը, իսկ  $C$ -ից  $C'$  կետը: Էներգիայի բարիերի բարձրությանը հավասար ակտիվացման էներգիան կիրարանա  $C$  և  $C'$  օրդինատների տարրերության շափով այն դեպքում, եթե մասնիկը տատանվում է գործող շրջափող ուժի ուղղությամբ և կմնանա  $A$  և  $A'$  օրդինատների տարրերության շափով, եթե տատանվում է հակառակ ուղղությամբ: Եթե և-ն նվազագույն պոտենցիալ էներգիային համապատասխանող հաջորդական դիրքերի միջև ընկած հեռավորությունն է, ապա նշված ակտիվացման էներգիաների տարրերությունը կլինի  $f\lambda/2$ : Այսպիսով  $f$  ուժի ազդեցությունը իր ազդման ուղղությամբ կլինի  $f\lambda/2$ -ով, իսկ հակառակ ուղղությամբ կամքի  $f\lambda/2$ -ով: Ուստի  $f$  ուժի ուղղությամբ մեկ մոլի համար ակտիվացման հաճախականությունը կլինի ( $\rho$  ստ գծագրի դեպի աջ, նկ. 3)

$$\rightarrow = \frac{kT}{h} \exp \left( - \frac{\Delta E - f\lambda/2}{kT} \right), \quad (5)$$

իսկ հակառակ ուղղությամբ (դեպի ձախ)

$$\leftarrow = \frac{kT}{h} \exp \left( - \frac{\Delta E + f\lambda/2}{kT} \right): \quad (6)$$

Ակտիվացման արդյունարար կամ կապերի բանդման հաճախականությունը  $f$  ուժի ազդման ուղղությամբ կլինի այդ երկու մեծությունների տարրերությունը<sup>2</sup>

<sup>2</sup> Միասնության նպատակով որոշ դեպքերում տարրեր հեղինակների կողմից արված նշանակումները փոխված են:

եկ. Յ. Հոսուն տարբերակ էներգետիկ բարիերներ, որոնք բաժնում են նախապահպարհանակության հարցը  $O$  պիրեւը (համարակիծ, եթե արտաքին ուժերը չեն ազդում) կոմ  $O'$  պիրեւը ( $L$  էներգիայի ծավալը, եթե ազդում է շոշափող  $f$  ուժը): Արցիսեր— $S$  տեղաշարժերը, օրդինատներ—ակտիվացման  $E$  էներգիան մեկ մոլեկուլի համար:

Рис. 3. Энергетические барьеры текущих элементов, разделяющие соседние положения равновесия  $O$  (сплошная кривая  $K$  при отсутствии внешних сил) или  $O'$

նկ. 4. Մուրայամայի և Շիբատայի ռեոլոգիա-կան մոդելը:

Рис. 4. Реологическая модель Мураяма и Шибата.

Fig. 4. Rheological model by Murayama and Shibata.

$$\gamma = 2 \frac{kT}{h} \exp\left(-\frac{\Delta E}{kT}\right) \operatorname{sh}\left(\frac{f\lambda}{2kT}\right): \quad (7)$$

Բնական է ընդունել, որ կապերի քանդման հաճախականությունը կապված է նյութի դեֆորմացիայի արագության հետ: Հետևաբար մի շարք գիտականներ տարբեր ձևով կատարեցին (?) բանաձևի մեկնաբանումը:

Տորուսկին և Էյրինգը պատկերացնելով պոլիմերների նման բարդ նյութի վարքն իբրև այն կազմող տարրերի վարքի գումարային աղղեցություն, ընդունում են, որ  $N$  տարրական զուգահեռ պրոցեսները կատարվում են մեկ միավոր կարգածքով մակերեսում  $\sigma$  լարմանն ուղղահայաց (այսինքն ամեն մի տարրում աղղում  $\xi = f = \sigma/N$  միջին ուժը). բացի դրանից ուժի ուղղությամբ հաշորդաբար կատարվում են ուղղություններից ելնելով, նրանք ստացան սողոք դեֆորմացիայի արագության արտահայտությունը

$$\dot{\epsilon} = A \operatorname{sh}(B\sigma), \quad (8)$$

որտեղ

$$A = \frac{2\lambda n k T}{h} \exp\left(-\frac{\Delta E}{kT}\right) \quad \text{և} \quad B = \frac{\lambda}{2NkT} \quad (9)$$

Այսպիսով հեղինակներն ընդունում են, որ դեֆորմացիայի եղակի պրոցեսների թիվն անկախ է կիրառված լարումից և գոյություն չունի որևէ սահմանափակի դիմադրություն, այսինքն նվազագույն լարումն առաջացնում է դեֆորմացիա:

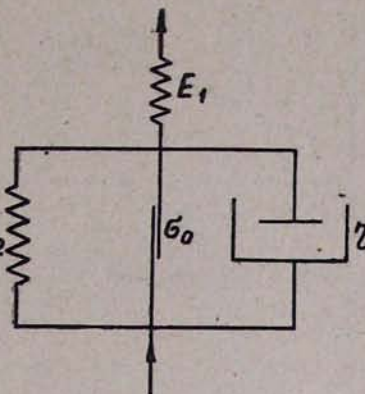
### Մուրայամայի և Շիբատայի տեսությունը

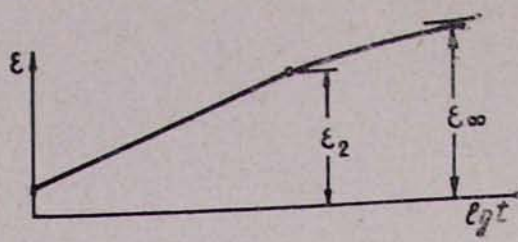
Մուրայաման և Շիբատան առաջիններն էին, որոնք կիրառեցին Էյրինգի տեսությունը գրումաների վրա (Murayama & Shibata, 1958; 1961): Ելնելով դրումատիկ հատկություններից, նրանք ընդունեցին  $\sigma_0$  սահմանային դիմադրության առկայությունը ընդունելով նաև, որ  $N$  և  $\lambda$  մեծությունները փոփոխական են և համեմատական գրումատիկ կմախքում գործող, սահմանային դիմադրությանը գերազանցող ( $\sigma - \sigma_0$ ) լարմանը, այսինքն  $n = a(\sigma - \sigma_0)$  և  $N = b(\sigma - \sigma_0)$ , որտեղ  $a$ -ն և  $b$ -ն հաստատում են: Տեղադրելով այդ արժեքները (8) բանաձևի մեջ, ստացվում է գրումատիկ սողոք արագությունը

$$\dot{\epsilon} = A (\sigma - \sigma_0) \operatorname{sh}\left(\frac{B\sigma}{\sigma - \sigma_0}\right) \quad (10)$$

որտեղ

$$A = \frac{2\lambda akT}{h} \exp\left(-\frac{\Delta E}{kT}\right) \quad \text{և} \quad B = \frac{\lambda}{2bkT} \quad (11)$$





Նկ. 5. Հ ձեռափոխության և ժ ժամանակի լրացրիմի միջև եղած կապը (բառ Մարյամայի և Շիբատայի):

Рис. 5. Зависимость между логарифмом времени  $t$  и деформацией  $\varepsilon$  (по Мураяма и Шибата).

Fig. 5. Relationship between flow strain  $\varepsilon$  and time  $t$  (after Murayama and Shibata).

Այստեղից կապերի մածուցիկության թվացող գործակիցը կլինի՝

$$\tau_i = \frac{1}{A \sinh\left(\frac{B\sigma}{\sigma - \sigma_0}\right)} \quad (12)$$

Հեղինակներն առաջարկեցին, մի նոր սեոլոդիական մոդել, որը ներկայացնում է Կելլինի փոփոխված մոդելը (նկ. 4): Այն բաղկացած է մի  $E$  զսպանակից, որը հաջորդաբար միացրած է զուգահեռ տեղադրված  $E_2$  զըսպանակից  $\sigma_0$  պլաստիկ մարմնից ու դեմքֆերից և նկարագրվում է (10) բանաձևով:

Մինչև դեմքֆերի դեֆորմացիան չի գերազանցում :  $= (\sigma - \sigma_0)(2B - 1)/2BE$  մոդելի համար կապը ժամանակի և դեֆորմացիաի միջև ( $\ln t - \varepsilon$ ) կոորդինատային սիստեմում արտահայտվում է ողիղ գծով (նկ. 5)

$$\varepsilon = \frac{\sigma}{E_1} + \frac{\sigma - \sigma_0}{E_2} + \frac{\sigma - \sigma_0}{BE_2} \ln \frac{A}{2} BE_2 t \quad (13)$$

իսկ հետո ասիմպտոտիկություն մոտենում է իր  $\varepsilon_\infty$  սահմանային արժեքին

$$\varepsilon_\infty = \frac{\sigma}{E_1} + \frac{\sigma - \sigma_0}{E_2} : \quad (14)$$

(13) բանաձևից ստանում ենք

$$\frac{d\varepsilon}{d \ln t} = \frac{\sigma - \sigma_0}{B E_2} \quad (15)$$

Հետեաբար ձեռափոխության արագության հետ կապված  $d\varepsilon/d \ln t$  մեծության և կիրառված  $D = \sigma_1 - \sigma_3$  լարման դեվիատորի հարաբերությունը ( $D - \tau$  կորագիծ) պիտք է արտահայտվի ողիղ գծով  $\sigma_0 - \sigma_3$  միջև հոսունության  $\sigma_u$  վերին սահմանը: Նկ. 6-ի վրա սողքի փորձից ստացված  $d\varepsilon/d \ln t$  արժեքները ցույց են տրված կիրառված  $\sigma_1 - \sigma_3$  դեվիատորի արժեքներին համապատասխան: Կորագիծը նկարի վրա ողիղ է մինչև  $\sigma_1 - \sigma_3 = 0,7$  կրամք: Ծառանշանը նետ ողիղի հատման կետի արցիսը տալիս է հոսունության ներքին  $\sigma_0$  սահման: Դրանից ցածր ոչ մի ձեռափոխություն տեղի չի ունենում: Լարումը, որ համապատասխանում է գրաֆիկի առաջին ծովանը տալիս է հոսունության  $\sigma_u$  վերին սահմանը: Դա ներկայացնում է այն առավելադրույն լարումը, որը կարող է երկար ժամանակ տանել գրունտը առանց քայլայման:

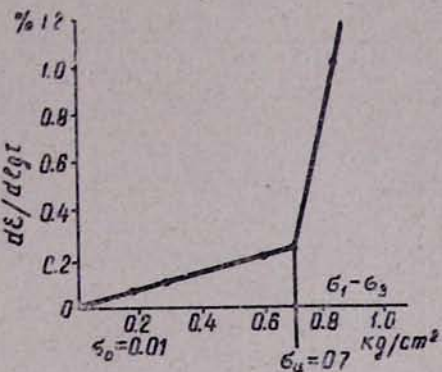
Միտչելի և Սինգի տեսությունը

Գրունտի սողքի և արագությունը ուղիղ համեմատական է կապերի քանդման հաճախականությանը,  $\varepsilon = X^q$ , որտեղ  $q$  արժեքը տրված է (7) բանաձևով (Mitchel et al., 1968), ալիսինքն:

Նկ. 6. Զետիմունարյան և ժամանակի լազարի լավագության մեջ աների  $d\varepsilon/d\lg t$  հաշարեռությանը իրեն լարացնած  $\sigma_1 - \sigma_2$  դեվիատորի փունկցիան.  $\sigma_0$ ՝ ներքին հսունության սահմաններին է,  $\sigma_u$ ՝ վերիններին (ըստ Մորայամայի և Շիբատայի):

Рис. 6. Отношение приращения деформации и логарифма времени как функция дивиатора напряжений  $\sigma_1 - \sigma_2$ .  $\sigma_0$  — нижний предел текучести,  $\sigma_u$  — верхний (по Мураяма и Шибата).

Fig. 6. Relation between  $d\varepsilon/d\lg t$  and stress deviator  $\sigma_1 - \sigma_2$ .  $\sigma_0$  is the lower yield value,  $\sigma_u$  is the upper one (after Murayama and Shibata).



$$\dot{\varepsilon} = 2X \frac{kT}{h} \exp \left( -\frac{\Delta E}{kT} \right) \sinh \left( \frac{f\lambda}{2kT} \right) \quad (16)$$

Վերլուծելով այդ բանաձեռի մեջ մտնող արժեքների մեծությունը, Միտչելլը նկատեց, որ կավերի համար  $f\lambda/2kT$  արժեքը 3-ից փոքր վի լինում, իսկ խոշորահատիկ գրունտների համար դեռ ալելի մեծ է: Ուստի ոչ մեծ սըխալ գործելով կարելի է կատարել փունկցիաների փոխարինումը՝  $\sinh(f\lambda/2kT) \approx 0.5 \exp(f\lambda/2kT)$  և արտադրել (16) բանաձեռն այսպիս (Mitchell, 1964):

$$\dot{\varepsilon} = X \frac{kT}{h} \exp \left( -\frac{\Delta E}{kT} \right) \exp \left( \frac{f\lambda}{2kT} \right) \quad (17)$$

Նկատելով, որ  $R_0$  գազալին ունիվերսալ հաստատունը և  $k$  Բոլցմանի հաստատունը կապված են  $R_0 = kN$  հարաբերությամբ, որտեղ  $N = 6,02 \cdot 10^{23}$  Ավոգադրովի թիվն է, զերծին արտահայտությունը կարելի է գրել հետևելու կերպ՝

$$\dot{\varepsilon} = X \frac{kT}{h} \exp \left( -\frac{E - f\lambda N/2}{R_0 T} \right) = X \frac{kT}{h} \exp \left( \frac{-F}{R_0 T} \right), \quad (18)$$

որտեղ  $F$  մեկ մոլին բաժին ընկնող փորձնական ակտիվացման էներգիան է. այն կարելի է տեսնել նկ. 3 վրա:

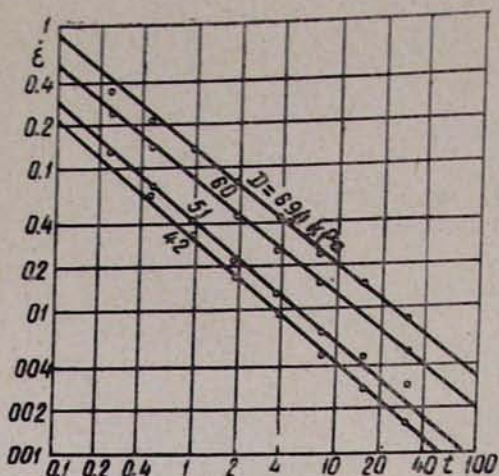
Բազմաթիվ փորձերի արդյունքների վերլուծումը ցույց տվեց, որ ժամանակի և դեֆորմացիայի արագության լոգարիթմների գրաֆիկներն ուղղագիծ են (նկ. 7). այդ թույլ է տալիս  $t$  ժամանակի և սողերի  $\dot{\varepsilon}$  արագության կապն արտահայտել այսպիս (Singh & Mitchell, 1968):

$$\ln \dot{\varepsilon} = \ln \dot{\varepsilon}(t_1, D) - m \ln(t/t_1) \quad (19)$$

որտեղ  $\dot{\varepsilon}(t_1, D)$  դեֆորմացիայի արագությունն է  $t_1$  միավոր ժամանակի համար, օրինակ, 1 րոպե ու  $D$ —լարումների դեվիատորն է.  $m$ -ը ուղիղ գծի թեքության բացարձակ մեծությունն է ( $\ln t - \ln t_1$ ) գրաֆիկի վրա: Մինուս նշանը դրվում է, քանի որ եթե ժամանակն աճում է, սողերի արագությունը նվազում է: Հստ Միտչելլի,  $m$ -ի մեծությունը գտնվում է 0,75 և 1-ից փոքրին մեծ մեծության միջև, իսկ նրա միջին արժեքը 1-ից փոքր է:

Կազմ  $D$  լարումների դեվիատորի՝  $D = \sigma_1 - \sigma_3$  և  $\dot{\varepsilon}$  դեֆորմացիայի լոգարիթմի միջև (նկ. 8) ինժեներական հետաքրքրություն ներկայացնող  $G$  սահմաններում նույնպիս արտահայտվում է ուղիղ գծով:

$$\ln \dot{\varepsilon} = \ln \dot{\varepsilon}(t, D_0) + \alpha D \quad (20)$$



Նկ. 7. Հ ժամանակի (ռովեներով) և է ձևափոխ թյան արագության (տոկոսներով բացեներով) լոգարիթմի ընդունելի միջև եղած կապը Սան-Ֆրանչիսկոյի ժամանակակից շահատված համար խամաց լուրեր առ Դ դիմացների վեպքում: Նորմալ կոնսոլիդաց ժամ մինչև 100 կՊա (ըստ Սինգհի և Միչելի)

Բար. 7. Зависимость логарифма времени  $t$  (в мин.) и скорости деформации  $\dot{\varepsilon}$  (%) в минуту) для ненарушенных образцов бухты Сан-Франциско при разных значениях коэффициента  $D$ . Нормальная консолидация до 1 кПа (по Сингху и Митчелю).

Fig. 7. Logarithm of strain rate (percent minute) versus logarithm of time (minutes) relationship during undrained creep of undisturbed San Francisco mud normally consolidated to 1 kPa (after Singh & Mitchell).

որտեղ  $\alpha$ -ն ուղիղ գծի հատվածի թերության մեծությունն է և  $\dot{\varepsilon}(t, D_0)$  դեֆորմացիայի ֆիկտիվ արագության փունկցիան է ժամանակից, եթե  $D=0$ , այդ մեծությունը ստացվում է զրաֆիկից՝ շարունակելով ուղղղը մինչև հատումը օրդինատների առանցքի հետ Ա կետում:

Հավասարեցնելով (13) և (20) արտահայտությունները, կստանանք

$$\ln \dot{\varepsilon}(t_1, D) - m \ln(t/t_1) = \ln \dot{\varepsilon}(t, D_0) + \alpha D \quad (21)$$

Եթե  $D=0$  ապա վերջին հավասարումը կդառնա

$$\ln \dot{\varepsilon}(t, D_0) = \ln \dot{\varepsilon}(t_1, D_0) - m \ln(t/t_1) \quad (22)$$

որտեղ  $\dot{\varepsilon}(t_1, D_0)$  դեֆորմացիայի արագության արժեքն է, այն ստանալու համար պետք է կառուցել  $(D - \ln \dot{\varepsilon}_1)$  զրաֆիկը մեկ միավոր ժամանակի համար (նման նկ. 8-ի) և շարունակելու ուղիղ հատվածը մինչև հատումը  $\ln \dot{\varepsilon}_1$  առանցքի հետ ( $D=0$ ): Այս դեպքում (20) և (21) բանաձևերից կստանանք

$$\ln \dot{\varepsilon} = \ln \dot{\varepsilon}(t_1, D_0) + \alpha D - m \ln(t/t_1) \quad (23)$$

որի հիման վրա գրում ենք ընդհանուր լարումը, դեֆորմացիան և ժամանակը կապող փունկցիան

$$\dot{\varepsilon} = A e^{\alpha D} \left( \frac{t_1}{t} \right)^m \quad (24)$$

որտեղ

$$A = \dot{\varepsilon}(t_1, D_0) \quad (25)$$

Վյալովի և Զարեցկու տեսությունը

Վյալովը աշխատակիցների հետ միասին ուսումնասիրեց գրումափ ըստուկտուրայի փոփոխությունները սահմանափակում, օգտագործելով քարագիտական և էլեկտրոնային մանրագիտության մեթոդները (Վյալօվ և այլ., 1970, 1972, 1973): Սինգհատիկ այդ արդյունքները ցույց են տված նկ. 1 վրա:

նկ. 8. Լարումների  $D$  գելիատորի և  
ձևափոխության արագության լուս լազա-  
րի միջև եղած կապը:  $G$ -ն ինժենե-  
րական հատարարություն ներկայացնող  
միջակայքն է:

Рис. 8. Зависимость между девиатором напряжений  $D$  и логарифмом скорости деформации  $\ln \dot{\epsilon}$ .  $G$  — область, имеющая инженерное значение.

Fig. 8. Relationship between stress deviator,  $D$  and logarithm of the strain rate.  $G$ —range of engineering interest (after Singh & Mitchell).

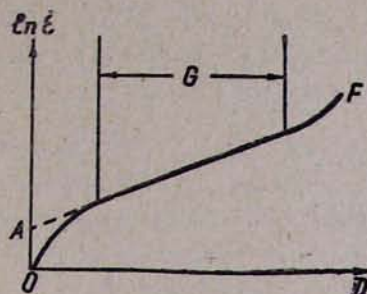
Գրումնաժիշտ սկզբնական ստրուկտորան նշված է  $a$  սիմվոլով. գրումնաը պարունակում է կավային մասնիկների միկրոբլոկներ, խոռոչներ ու ծակոտիներ, ցեմենտացնող կավ և ճեղքվածքներ: Սողքի մարող փուլում ( $I$  կորագիծ՝ փոքր շոշափող լարումների համար ամրողությամբ) և  $II$  կորագիծի  $O A$  հատվածը) նկատվում է խոռոչների և ծակոտիների քանակի և չափի նվազում, տեղադրությամբ և սահմանափակում է սահմանափակը: Այդ պրոցեսի հիմնական մասը կատարվում է փուլի սկզբում: Սողքի հաստատված փուլում ( $II$  կորագիծի  $A B$  հատվածը) կատարվում է թեփուկային կավային մասնիկների կողմնորոշում, որի հետևանքով նրանց հիմքային մասերը դասավորվում են սահմանափակությամբ: Խոռոչները և ծակոտիները տափակեցվում են և ձգվում մասնիկների կողմնորոշման ուղղությամբ: Նրանց չափն ու քանակը նվազում է, բայց միաժամանակ առաջանում են նրբագույն սեպական ճեղքվածքներ, որոնք ձրդվում են մի խոռոչից դեպի մյուսը: Սողքի առաջընթաց փուլում ( $II$  կորագիծի  $B C$  հատված) նկատվում է ճեղքերի ուժեղ զարգացում, որոնք միավորվելով կազմում են ճեղքերի ցանց:

Վյալովի և Զարեցկու կողմից առաջարկված տեսությունը ելնում է նրանից, որ սողքի արագությունը համեմատական է դործող շոշափող լարման արժեքին, հետեւարար (4) բանաձևի հիման վրա կարելի է գրել

$$\dot{\epsilon} = X \frac{kT}{h} \tau \exp \left( - \frac{E}{kT} \right). \quad (26)$$

որտեղ  $\tau = \delta / F^2$  միավոր մակերեսին բաժին ընկնող տժն է,  $F$ -ն տարրական մասնիկի չափերը,  $X$ -ը կախված է մասնիկների խորությունից (Վյալօվ, 1973):

Զարեցկին և Վյալովը ուշադրություն դարձրին ակտիվացման էներգիայի փոփոխությանը սողքի ձևափոխության ընթացքում (Զարեցկի և Վյալօվ, 1971; Վյալօվ, 1976): Գրումնում տեղի է ունենում մի կողմից վերադասավորում, մյուս կողմից՝ միջամասնիկային կապերի քայլքայում և արատների առաջացում: Կապերի խախտումը և արատների զարգացումը թուլացման պրոցես է և բերում է ամրության նվազեցման: Միաժամանակ տեղի է ունենում նաև ամրացում՝ պայմանավորված ճեղքերի սրուժումով և նոր կապերի գոյացմամբ: Եթե ամրացումը գերազանցում է, ապա սողքի ձևափոխությունը կայունանում է, իսկ եթե թուլացումն է գերազանցում, առաջանում է շմարող սողք և տեղի է ունենալ քայլքայում: Վերջինիս դեպքում զրումտի ծավալի միկրո-



ճեղքերով վնասվածքի աստիճանը հասնում է կրիտիկական արժեքին: Համապատասխանորեն ընդունված է, որ մասնիկների ակտիվացման հարաբերական էներգիան որոշվում է

$$E = E_0 \pm E_1 - E_2 \quad (27)$$

բանաձևից, որտեղ  $E_0$ -գրունտի մասնիկների միջն կապի սկզբնական պոտենցիալ էներգիան է, որը կախված է նրանց միներոլոգիական կազմությունից, չափերից, ձևից, հեղուկ փուլի բիմիական կազմությունից, գրունտի նից, չափերից, ձևից, հեղուկ փուլի բիմիական կախվածքայի տեսակից: Այսինքն  $E_0$ -ն խոռոչությունից, խոնավությունից և տեքստուրայի տեսակից: Այսինքն  $E_0$ -ն ընությագրում է մինչև ձևափոխությունը միշտասնիկային կապերի ամրությունը:  $E_1$  արատների զարգացման հետևանքով սկզբնական էներգիայի փոփոխությունն է, որական նշանը համապատասխանում է ամրացմանը, բացասական նշանը՝ թուլացմանը:  $E_2$  սկզբնական էներգիայի փոփոխությունն է ժամանակում մասնիկների վերադասավորման հետևանքով:  $E_0$  մեծությունը հաստատում է գրունտի տվյալ խորության և խոնավության դեպքում, իսկ  $E_1$  մեծանում է ժամանակի ընթացքում ստրուկտուրայի փոփոխությանը զուգընթաց, ընդ որում  $E_1$  էներգիան ժամանակամիջոցում աճում է համեմատական և շոշափող լարմանը

$$\Delta E_1 = \gamma^{-\tau} \Delta t = \gamma \frac{\tau - \tau_\infty}{\tau_0 - \tau} \Delta t. \quad (28)$$

Բացի դրանից, եթե նկատի ունենանք ակնթարթային վնասվածքի պատճենով արատների առաջացումը որպես հավանական պրոցես, ապա  $\Delta E = -\Delta \omega / (1 - \omega)$ , որտեղ  $\omega$ -ն գրունտի միավոր ծավալում միկրոճեղքերի ծավալն է, իսկ  $\Delta \omega$ -ն  $t$  ժամանակից մինչև  $t + \Delta t$  ժամանակահատվածում առաջացած արատները:  $E_2$  էներգիան փոքրանում է կողմնորոշված մասնիկների  $\Delta \Omega / \Omega$  հարաբերական աճին համեմատական, այսինքն  $\Delta E_2 = -\delta_2 (\Delta \Omega / \Omega)$ , որտեղ  $\Omega$ -ն սահքի ուղղությամբ կավալին մասնիկների կողմնորոշման աստիճանն է:

(27) բանաձևի վերլուծումը բերեց սողքի արագության հետևալ բանաձևին

$$\dot{\gamma} = \frac{1}{\tau_0} \left[ \frac{\exp \left( \frac{\delta}{T_\tau} \frac{\tau - \tau_\infty}{\tau_0 - \tau} t \right)}{t^\delta} \right]^\tau, \quad (29)$$

որտեղ  $\delta = \ln (1 - \omega_u) (1 - \omega_r) \cdot \eta_0 = [\exp (E_0/kT)]/A$ .  $\omega_u$ -արատների խոռոչությունն է սկզբում,  $\omega_r$ -արատների խոռոչությունը սողքի հաստատված հոսքի փուլում  $\eta_0$  գրունտի հաստատումն է և կախված է նրա սկզբնական ստրուկտուրայից, խոռոչությունից, խոնավությունից և ջերմաստիճանից, որն ազդում է շրային թաղանթների մածոցիկության վրա:  $\eta = \eta_0 t^\delta \exp [-(\delta/T_\tau) \tau]$  արտահայտությունը կարելի է դիտել որպես մածոցիկության գործակից, որը փոխվում է  $\tau$  լարումից  $t$  ժամանակից կախված: (29) բանաձևը հետաքրքիր է այն տեսակետից, որ թուլ է տալիս ստանալ տարրեր հայտնի էմպիրիկ բանաձևեր: Օրինակ, եթե  $\tau < \tau_\infty$ , ապա բանաձևը տալիս է բժանիցինի հոսքի միջուկը որն օգտագործվում է Վլալովի կողմից սառած գրունտի համար: Եթե  $\delta/T = 0$ , ապա ստանում ենք ձևափոխման աստիճանային օրենքը. եթե  $\delta/T = 0$  և  $\delta = 1$ , ապա ստացվում է հավերժական սողքի օրենքը և այլն:

Սողքի համար ընդունելով  $\gamma = \text{const}$  և  $\dot{\gamma} = \text{const}$  բնձ. (29)-ը կստանանք

$$\gamma(t) = \gamma_0 + \left\{ \frac{t}{\tau_0}^{1-\delta} \left[ \frac{1'}{1-\delta} + \frac{\tilde{\delta}\tilde{\tau}}{2-\delta} \left( \frac{t}{T_\tau} \right) + \frac{1}{2(3-\delta)} (\tilde{\delta}\tilde{\tau})^2 \left( \frac{t}{T_\tau} \right)^2 + \dots \right] \right\} \quad (30)$$

որտեղ  $\gamma_0$ —ակզեռնական ակնթարթայինն է,  $\tilde{\tau} = (\tau - \tau_\infty) / (\tau_0 - \tau)$ . ալստեղ  $\tau_0$ -ն ակնթարթային ամրությունն է, իսկ  $\tau_\infty$ -ն փորձի տևողությանը համապատասխանող ամրությունն է: Մասնավոր դեպքում, եթե  $\delta = 1$ , (30) բանաձեռ տալիս է

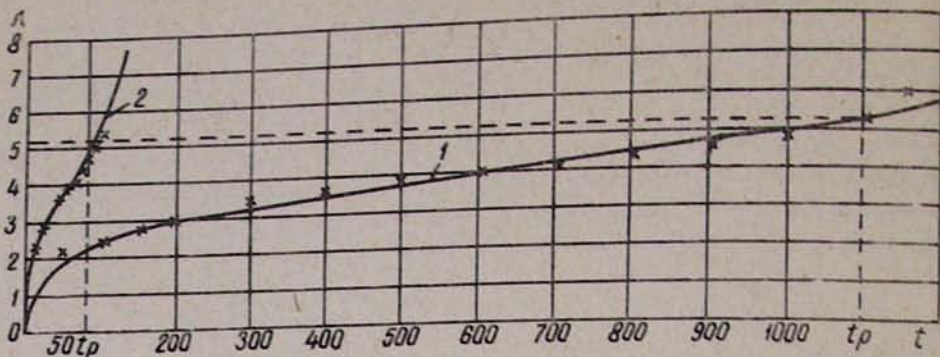
$$\gamma(t) = \gamma_0 + \frac{\tilde{\tau}}{\tau_0} \left[ \ln t + \tilde{\tau} \frac{t}{T_\tau} + \frac{1}{4} \frac{\tilde{\tau}^2}{\tilde{\tau}^2} \left( \frac{t}{T_\tau} \right)^2 + \dots \right] \quad (31)$$

Եթե սահմանափակվենք առաջին անդամով, ապա (30) բանաձեռ կը ստանանք ձևափոխության աստիճանային օրենքը, իսկ (31) բանաձեռ կ'լոգարիթմական օրենքը: Նկ. 9-ում ցույց են տրված սառած կելովեյան մերձակավի հետ կատարված փորձի արդյունքները, եթե  $\tau = 2,15$  և  $2,5$  ՄՊա:

### Տեր-Ստեփանյանի տեսությունը

Տեսության հիմնական դրույթներից մեկն է սողքի ժամանակ գրունտի ըստրուկտորայի, այսինքն գրունտի կոնտակտների և նրանց մեջ գործող ուժերի դասավորման թոփշքած փոփոխությունները, որոնք ցույց էին տրված էքսպերիմենտալ հղանակով (Տեր-Ստեփանյան, 1948): Այդ փոփոխությունները կատարվում են, եթե ստրուկտորան դառնում է անբավարար տվյալ լարված վիճակին համապատասխան դեֆորմացիաները ապահովելու համար. քանդված ստրուկտորաները փոխարինվում են նոր ստրուկտորաներով: Գրունտի դեֆորմացիան կատարվում է երեք մակարդակի վրա՝ մոլեկուլար, հատիկային և ստրուկտորային (Տեր-Ստեփանյան, 1976; Ter-Stepanian et al., 1975, 1977):

Ուժերը կրնակսի կետում: Սահքի ընթացքում գրունտի նմուշի վրա (նկ. 10) ազդում են՝  $N = \sigma/A$  էֆեկտիվ նորմալ (ուղղաձիգ) ուժը,  $T = \tau A$  շոշափող (հորիզոնական) ուժը և  $H = \sigma_0 A$  ներքին կապակցվածության (բոլորակողմ) ուժը, որտեղ  $A$ -ն նմաշի մակերեսն է և  $\sigma_0 = \sigma'$  ցուցանիքը: Եթե  $P = \eta Q$ ՝  $Q = H + P$ : Սահքի մորֆիզացված դիմադրության գործակիցը կլինի տցθ =  $T/(H + N) = \tau/(\sigma_0 + \sigma')$ : Նմուշի միջով անցնող կամալական առ կտրվածքով անցատենք գրունտի մի մասը: Հավասարակշռությունը պահպանելու համար կոնտակտներում պետք է կիրառել տարրական ուժեր, որոնք կարող են ունենալ կամայական ուղղություն: Դիտարկենք ուժերի այն թ բաղադրիչները, որոնք գործում են գծագրի հարթությունում: թ տարրական ուժերը կարելի է վերածել թ նորմալ և  $f$  շոշափող ուժերի (նկ. 10): Նշանակելով նորմալ ուժերի վեկտորական գումարը  $R$ -ով,  $R = \tau_1 + \tau_2 + \dots$  և շոշափող ուժերի վեկտորական գումարը  $F$ -ով,  $F = f_1 + f_2 + \dots$  կստանանք  $R + F = Q$ : Գրունտի ստրուկտորայի վերակառուցման ընթացքում փոխվում է միջմասնիկային կոնտակտների թիվը և դիրքը, որի հետևանքով նորմալ և շոշափող տարրական ուժերի գումարը կարտահայտվի ուրիշ՝  $R'$  և  $F'$  վեկտորներով: Առաջվա նման  $Q = R' + F'$ : Նորմալ թ շոշափող  $f$  ուժերը տարբեր ձևով են ներգործում գրունտի մասնիկների կոնտակտների վրա: Նորմալ ուժերի մեծությունից կախված ստեղծվում են միներալային և ոչ-միներալային տիպի կոնտակտներ: Եթե  $f$  ուժը



Նկ. 9. Սողի կրագեցք սառած կելլովյան մերձակալի համար ըստ Պեկարսկայայի: Արցիսի-ներ- $t$  ժամանակը բովեներով, օրդինատները — λ ձևափոխությունը մմ-ով: Կարագի 1՝  $\tau = 2.15 \text{ MPa}$ , կորագի 2՝  $\tau = 2.5 \text{ MPa}$ :

Рис. 9. Кривые ползучести келловейского мерзлого суглинка по Пекарской. Абсциссы—время  $t$  в мин, ординаты—деформации  $\lambda$  в мм. Кривая 1,  $\tau = 2.15 \text{ MPa}$ ; кривая 2,  $\tau = 2.5 \text{ MPa}$ .

Fig. 9. Creep curves for frozen Kellowayian loam according to Pekarskaya. Abscissas—time in minutes, ordinates—strain in millimeters. Curve 1,  $\tau = 2.15 \text{ MPa}$ ; curve 2,  $\tau = 2.5 \text{ MPa}$ .

բավարար է աղասորացված ջրի թաղանթը ծակելու համար, ստեղծվում են միներալային տիպի կոնտակտները: Ունենալով կետային աղղեցություն, փոքր բուժերը զարգացնում են բարձր լարումներ և ստեղծում են կարծր կամ կիսակարծր սիմազրության կամուրջներ» (Տերցագի, 1934): Նրանց  $A_0$  մակերեսը կազմող կոնտակտի էֆեկտիվ մասը հավասար է  $A_0 = r/R_c$ , որտեղ  $R_c$  նյութի սեղմման ժամանակավոր դիմազրությունն է: Այդ դիմազրության կամուրջները կոչվում են կարծր տարրեր: Շոշափող  $f$  բուժերը նպաստավոր պայմաններում առաջացնում են մասնիկների փոխադարձ տեղաշարժ կամ դիֆորմացիա: Նրանք կազմում են հոսում տարրեր:

Յուրաքանչյուր հոսում տարրին բաժին ընկնող միջին շոշափող  $f_0$  բուժերությունը կլինի  $f_0 = f/l$ , որտեղ  $l$ —մեկ կոնտակտում հոսում տարրերում միջին թիվն է: Ընդունելով, որ հոսում տարրերի թիվը մի կոնտակտում համեմատական է նրա էֆեկտիվ մակերեսին, կատանանք  $l = qA_0$ , որտեղ  $q$  գործակիցն ունի  $L_2$  շափայնություն: Այսաղից ստանում ենք կարելոր բանաձև:

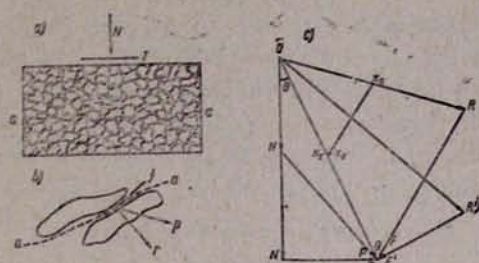
$$f_0 = \frac{f}{r} \frac{R_c}{q} \quad (32)$$

Նյութի յուրաքանչյուր տիպի համար կարելի է ընդունել, որ  $R_c/q$  հարաբերությունը հաստատում է: Այսաղից հետևում է, որ հոսում տարրերում գործող  $f_0$  բուժը կախված է ոչ թե  $f$ -ից և  $r$ -ից առանձին-առանձին, այլ նորանց հարաբերությունից: Քանի որ գրունտի ստրուկտուրայի երկրաշափական անփոփոխության դեպքում տարրական  $r$  բուժը փոփոխության ժամանակ պահպանվում է նրանց ուղղությունը, բուժը  $f$  բաղադրիչների հարաբերությունը չի փոխվում և հետևարար, ըստ բնական (23), շոշափող տարրական  $f_0$  բուժը մնում են հաստատում: Ստրուկտուրայի վերադասավորման ժամանակ փոփոխվում է բուժերի ուղղությունը և  $f_0$  բուժը մեծությունը:

նկ. 10. Կոնտակտի կիսում ուժերը. ա) գրունտի նմուշը, բ) ուժերը կոնտակտի կիսում, ց) ուժերի բազմանկյանք:

Рис. 10. Силы в точках контакта:  
а) образец грунта; б) силы в точ-  
ках контакта; в) многоугольник сил.

Fig. 10. Forces in points of contact:  
a) soil sample; b) forces in a point  
of contact; c) force polygon.



Զեափիխուրյունները կոնտակտների նոսում տարրերում (մոլեկուլար մակարդակ) ենթարկվում են կինետիկ ընթացքների տեսությանը: Օգտվելով Միտչելի գրանցումով (բնձ. 17) էյրինգի հավասարումից կարելի է գրել սահմանափակվում սողքի շարագության արտահայտումը. փոխարինելով  $\varepsilon$ -ը՝ դա ուղանակելով հոսուն տարրում ուժը  $f_0$ -ով, կտնենանք

$$\dot{\varepsilon} = X \frac{kT}{h} \exp\left(-\frac{E}{R_0 T}\right) \exp\left(\frac{f_0 \lambda}{2kT}\right), \quad (33)$$

Վերլուծելով այդ բանաձեռ տեսնդում ենք, որ հավասարման մեջ մտնող  $k$ ,  $h$  և  $R_0$  մեծությունները հաստատուն են. ակտիվացման  $E$  էներգիան և հավասարակշռության հաջորդական դիրքերի միջև և հեռավորությունները տվյալ գրունտի համար նույնպես կարելի է համարել հաստատուն: Լարուածոր նորմալ պայմաններում  $T$  բացարձակ շերմաստիճանը գործնականորեն հաստատուն է: Հետևաբար յուրաքանչյուր ստրոկուլարայի համար շերմային տատանումների  $kT/\hbar$  հաճախականությունը և երկու էքսպոնենցիալ ֆունկցիաները հաստատուն են: Այստեղից բխում է, որ մոլեկուլար մակարդակում սողքը կատարվում է հաստատուն արագությամբ:

Զեափիխուրյունները մասնիկների կոնտակտներում (մասնիկային մակարդակ) բնորոշվում են կիրառված լարման և մեծությունով և կապերի նըստակյաց կյանքի  $L$  տևողությունով (Եյերը, 1975): Զնայած տարրական  $f_0$  ուժերի մեծությունը չի փոխվում, բայց ընդհանուր և լարման աճի զեպքում մեծանում է կոնտակտների մեծությունը. նստակյաց կյանքի տևողությունից կախված քանդվում են հին կապերը, առաջանում են նորերը: Գրունտի ձևափոխելիության  $F/R$  մեծությունն ազակցում է սողքի արագության մեծացմանը: Ենելով գրունտի մածուցիկ և պլաստիկ բնույթից և ընդունելով, որ նշված գործուներն ուղղի համեմատական են սահմանական սողքի արագությանը կարելի է դրել  $X$  գործակցի համար (բնձ. 33)

$$X = K_1 \frac{F}{R} \frac{\pi - \pi_p}{\zeta L}, \quad (34)$$

որտեղ  $\pi_p$ -ն լարման այն արժեքն է, որի զեպքում սողքը նոր է սկսվում (սողքի շեմք),  $\zeta$  լարման շափականություն ունեցող գործակից է և  $K_1$ -ը շափականությունից դուրք համեմատության գործակից է:

Կապերի նստակյաց կյանքի միջին տևողությունը կախված է ստրոկուլարայի փոփոխության ուղղությունից և լարման հասակից: Եթե ստրոկուլար կարգավորվում է, ապա կյանքի տևողությունը մեծանում է լարման հասակի համեմատ՝  $L' = K_2 t$ , որտեղ  $K_2$  համեմատության գործակիցն է: Եթե ըստ-

բուկտուրան դառնում է թիշ կարգավորված, կյանքի տևողությունը փոքրանում է լարման հասակի համեմատ՝  $L' = K_2 t_0^2/t$ , որտեղ  $t_0$ -ն ժամանակի շափականությունը ունեցող գործակիցն է:

Գրունտի մասնիկները կարգավորվում են փորձի սկզբնական փուլում (նկ. 1) և սողքի արագությունը մարում է. այդ փուլը կոչվում է մորիլիզացման փուլ: Հաշվի առնելով վերը նշվածը, կատանանք (17) բանաձեռ համար Դ արտահայտությունը մորիլիզացման փուլում

$$\dot{\gamma} = a(\tau - \tau_p)/\zeta t, \quad (35)$$

որտեղ

$$a = \frac{K_1}{K_2} - \frac{F}{R} \frac{kT}{h} \exp\left(\frac{-E}{R_0 T}\right) \exp\left(\frac{f_0 \lambda}{2kT}\right) \quad (36)$$

ստրուկտուրային գործակիցն է և հաստատում է յուրաքանչյուր ստրուկտուրայի համար:

Փորձի հաջորդ փուլում գրունտի մասնիկներն ապակողմնորոշվում են (նկ. 1) և սողքի արագությունն աճում է. այդ փուլը կոչվում է հայեայման փուլ: Նույն ձևով քայլքայման փուլում կատանանք

$$\dot{\gamma} = a(\tau - \tau_p)/\zeta t_0^2 \quad (37)$$

Անցումը մորիլիզացման փուլից քայլքայման փուլին կոչվում է  $M$  մորիլիզացման սահման. այն բնութագրվում է  $t_m$  մորիլիզացման ժամանակով և  $\zeta_m$  մորիլիզացման դեֆորմացիայով: Քանի որ մորիլիզացման սահմանի պահին ( $t=t_m$ ) (35) և (37) բանաձեռը պետք է տան նույն արժեքը, ստանում ենք  $t_0=t_m$ . Հետեւքար արտադրում ենք (37) բանաձեռ այսպիս

$$\dot{\gamma} = a \frac{\tau - \tau_p}{\zeta t_m^2} t \quad (38)$$

Բարձր շոշափող լարումների դեպքում քայլքայման փուլն ավարտվում է գրունտի լրիվ կտրումով: Միջակա շոշափող լարումների դեպքում այն անցնում է ստարիլիզացման փուլին, և սողքի արագությունը նորից սկսում է նվազել ու արտահայտվել (35) բանաձեռով: Անցման պահը կոչվում է  $S$  ստարիլիզացման սահման: Նրան համապատասխանում է  $t_s$  ստարիլիզացման ժամանակը և  $\gamma_s$  ստարիլիզացման դեֆորմացիան:

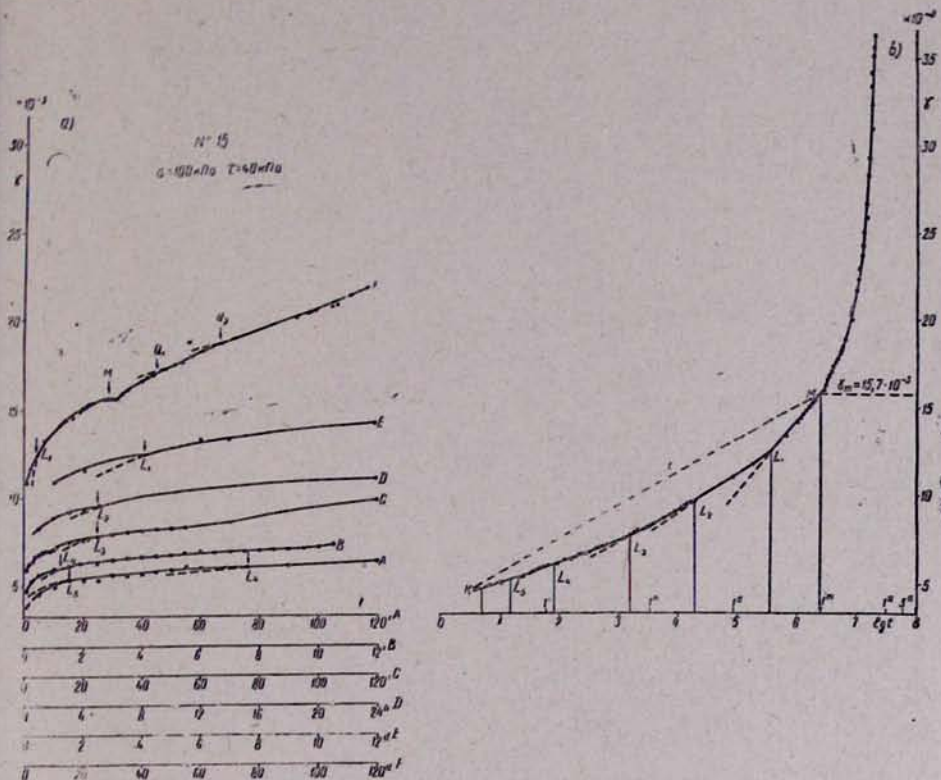
Սողքի մեծությունը ստանալու համար ինտեգրում ենք սողքի արագության (25) և (38) բանաձեռները: Մորիլիզացման և ստարիլիզացման փուլերում յուրաքանչյուր ստրուկտուրայի համար ստանում ենք

$$\gamma = a \frac{\tau - \tau_p}{\zeta} \ln t + C$$

կամ մաթեմատիկական ավելի լավ մեկնարանման նպատակով՝

$$\gamma = a \frac{\tau - \tau_p}{\zeta} \ln \frac{t + \Delta t}{\Delta t} + C \quad (39)$$

որտեղ  $\Delta t$ -ն մեկ միավորին հավասար փոքր ժամանակամիջոցն է, օրինակ  $\Delta t = 1$  վայրկյան, Կիսալոգարիթմական զրաֆիկում ( $\lg t - \gamma$ ) սողքը մորի-



Նկ. 11. Սահմբ ժամանակ սողքի փորձի սկզբանական փուլը. а) սողքի կորագծերը թվարանական մասշտարով և б) նույն կիսալոգարիթմական մասշտարով:

Рис. 11. Начальная фаза опыта на ползучесть при сдвиге: а) кривые ползучести в арифметическом масштабе; б) то же в полулогарифмическом масштабе.

Fig. 11. Creep curves in the initial phase of creep during shear. a) creep curves in arithmetical scale; b) ditto in semi-logarithmic scale.

լիդացման և ստարիլիդացման փուլերում ամեն մի ստրուկտորայի համար արտահայտվում է ուղիղ հատվածներով:

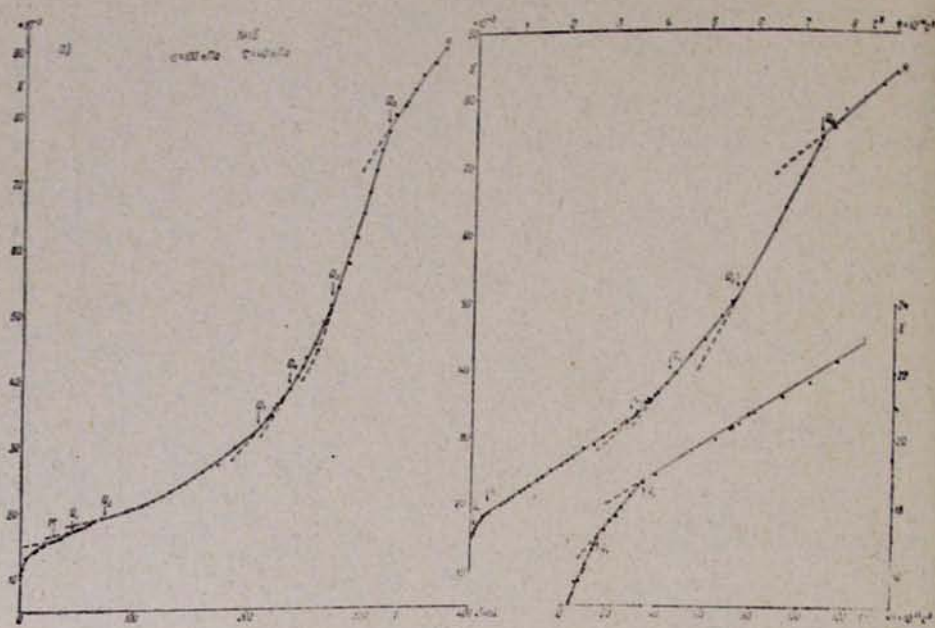
Քայլացման փուլում սողքի մեծությունը կլինի

$$\gamma = a \frac{\tau - \tau_p}{\zeta t_m^2} t^2 + C \quad (40)$$

Քառակուսային գրաֆիկում ( $t^2 - \gamma$ ) սողքը քայլացման փուլում արտահայտվում է ուղիղ հատվածներով:

Յուրաքանչյուր ստրուկտորայի դիֆորմացիան մոլեկուլյար և մասնիկային մակարդակներում հնիթարկվում է վերոհիշյալ բերված հավասարումներին և, հետևաբար, երկուսն էլ հանդիսանում են պատճառական ընթացքներ:

Գրումանի ստրուկտորայի ձեափխությանը (ստրուկտորային մակարդակ) տեղի է ունենում, երբ տվյալ ստրուկտորան չի ապահովում անհրաժեշտ ձևափոխության աճ և դառնում է անբավարար: Գրումանի ստրուկտորան թոփշքածե վերադասավորվում է (Տեր-Ստեփանյան, 1948) և մասնիկների նոր դասավորումից կախված փոխվում են ստրուկտորայի  $F/R$  ձևափոխելիությունը ու  $f_0$  ուժի մեծությունը. Հետևաբար ըստ բնական գործությունների մասին ապահովությունը կապահպանվում է անհրաժեշտ մասնակիությամբ:



Նկ. 12. Սանի դեպքում սովոր կորցմերը ամբողջարյամբ ա) թվարանական գրաֆիկ, բ) քառակուսային գրաֆիկ:

Рис. 12. Кривые ползучести при сдвиге полностью: а) арифметический масштаб; б) квадратичный масштаб.

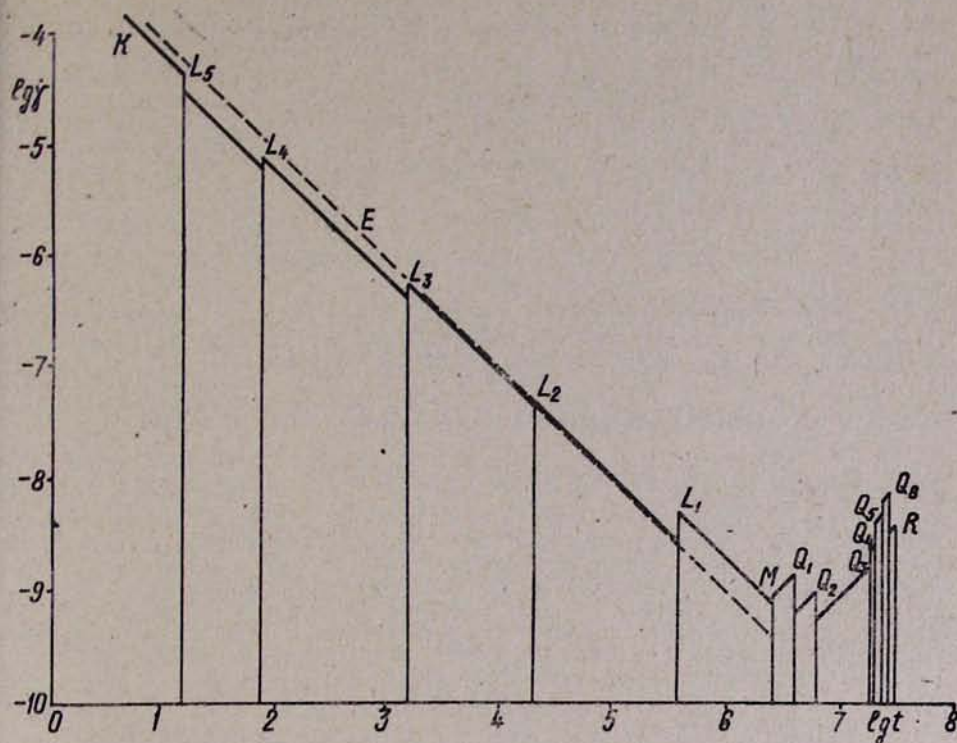
Fig. 12. Creep curves for the entire test. a) arithmetical scale; b) quadratic scale.

րայի և գործակցի մեծությունը: Որքան մեծ է  $a$ -ի արժեքը, այնքան մեծ է ստրուկտուրայի դիմացկունությունը և ավելի թեք է հատվածի դիրքը ( $\lg t - \gamma$ ) ու ( $t^2 - \gamma$ ) գրաֆիկների վրա:

Նկ. 11-ի վրա ցույց են տրված սովոր փորձի արդյունքները սկզբնական շրջանում, թվարանական և կիսալոգարիթմական մասշտաբով: Գրաֆիկներից երեսում է, որ մորիլիզացման փուլում սովոր կորագիծը կազմված է լոգարիթմական կորագծերի հատվածներից: Ստրուկտուրայի վերակառուցման պահին ընթացքը թուլում է մի հնարավոր լոգարիթմական կորագծից իրեն հարող մի ուրիշ լոգարիթմական կորագծի: Նկ. 12-ի վրա ցույց են տրված սովոր փորձի արդյունքներն ամբողջությամբ, թվարանական և քառակուսային մասշտաբով: Երեսում է, որ քայլքայման փուլում սովոր կորագծերը կազմված են քառակուսային պարաբոլների հատվածներից: Ստրուկտուրայի վերակառուցման պահին ընթացքը թուլում է մի հնարավոր պարաբոլից իրեն հարող մի ուրիշ պարաբոլի:

Նկ. 13-ի վրա ցույց է տրված ժամանակի և սովոր արագության լոգարիթմների միջև եղած կապը: Գրաֆիկը ցույց է տալիս ամեն մի ստրուկտուրայի դեֆորմացիայի արագության նվազումը մորիլիզացման փուլում և մեծացումը քայլքայման փուլում: Դեֆորմացիայի արագությունը թուլքածե փոխվում է ստրուկտուրայի վերակառուցման ժամանակ:

Նկ. 10օ-ի վրա կետագծով ցույց տված  $E$  ուղիղը, որը միացնում է առաջին դիմացած կետը մորիլիզացման  $M$  սահմանի հետ: Այդ համարժեք գիծը ցույց է տալիս, ինչպես կանցներ սովոր ընթացքը, եթե ստրուկտուրան թող-



Նկ. 13.  $t$  ժամանակի և ձևափոխության  $\dot{\gamma}$  արագույթան միջև եղած կապը լոգարիթմական մասշտաբով (ըստ Տեր-Ստեփանյանի):

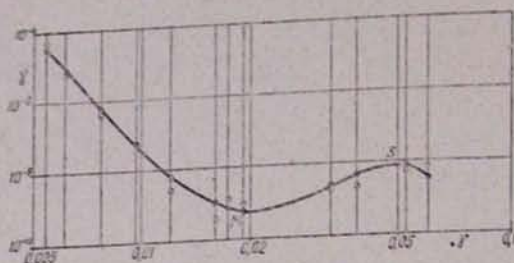
Рис. 13. Зависимость между временем  $t$  и скоростью деформации  $\dot{\gamma}$  в логарифмическом масштабе (по Тер-Степаняну).

Fig. 13. Relation between time and strain rate in logarithmic scale (after Ter-Stepanian)

բաձկ չփոփոխվեր: Նրանք արտահայտվում են  $t_1 = 0.43 (\gamma_m - \gamma_5) / \lg(t_m/t_5)$ , որտեղ  $t_5$  և  $\gamma_5$  առաջին դիտված կետի կոորդինատներ են (հասակ՝ 5 վայրկան): Հետո գրունտի ստատիկական մածուցիկությունը կապված է գրունտի դինամիկ մածուցիկության հետ:

$$\eta = \zeta t \quad (41)$$

առնչությամբ: Նկ. 14-ը ցույց է տալիս  $\gamma$  դեֆորմացիայի և սողքի  $\dot{\gamma}$  արագության լոգարիթմների միջև հարաբերությունը. ուղղաձիգ գծերը համապատասխանում են ստրոկուրայի վերակառուցման պահերին, սպիտակ կետերը՝ արագությանը մինչև թոփչքը, իսկ սև կետերը՝ թոփչքից հետո: Հոծ սև գիծը կոչվում է յուրահատուկ կորազիֆ: Եթեում է, որ սողքի արագությունը նվազում է մինչև մորիլիզացման  $M$  սահմանը, հետո քայլայման փուլում աճում է մինչև ստարիլիզացման  $S$  սահմանը և նորից նվազում է: Միայն մեծ լարումների դեպքում ստարիլիզացման տեղի չի ունենում և քայլայման փուլում սողքի արագությունը անընդհատ աճում է մինչև լրիվ քայլայմը:



Նկ. 14. Յուշանտակ կրավիդ (ըստ Տեր-Ստեփանյանի):  
Рис. 14. Присущая кривая (по Тер-Степаняну).  
Fig. 14. Intrinsic curve (after Ter-Stepanian).

## О ФИЗИЧЕСКИХ ТЕОРИЯХ ПОЛЗУЧЕСТИ ГЛИН

Физик С. С. СИМОНЯН<sup>1</sup>

**Реферат.** Даётся краткий обзор предложенных теорий, указываются особенности феноменологических теорий ползучести глины, их преимущества и ограничения. Рассмотрены некоторые физические теории ползучести глины, основанные на теории кинетических процессов Эйрига. Описаны особенности, физические предпосылки и основные математические зависимости, содержащиеся в физических теориях Эйрига, Вялова, Мураяма, Митчела и Тер-Степаняна. Показано важное значение учета структуры грунта и ее изменение в процессе ползучести.

## ON PHYSICAL THEORIES OF CREEP OF CLAYS<sup>2</sup>

SVETLANA SIMONIAN, Physicist

**Synopsis.** A concise review of the proposed theories of creep of clays is given. Special features of the phenomenological theories, their advantages and limitations are outlined. Some physical theories based on Eyring's theory of rate processes are considered. Distinguishing features, physical prerequisites and basic mathematical relations of physical theories by Eyring, Murayama, Mitchell, Vyalov and Ter-Stepanian are described. The fundamental importance of due consideration of the soil structure and its change in the creep process is shown.

## ԳՐԱԿՑՈՒԹՅՈՒՆ — ЛИТЕРАТУРА — REFERENCES

- Бъерум Л., 1975. Проблемы механики и строительства на структурно-неустойчивых и слабых грунтах. Генер. докл. VIII Междунар. конгр. по механике грунтов и фундаментостроению. М., Стройиздат, 98—165.
- Вялов С. С. 1973. О проблемах реологии грунтов. Тр. I Всесоюзного симпозиума по реологии грунтов. Ереван, Изд. Ер. гос. ун-та, 6—25.
- Вялов С. С. 1976. Кинетическая теория деформирования грунтов. Тр. II Всесоюзного симпозиума по реологии грунтов. Ереван, Изд. Ер. гос. ун-та, 22—37.
- Вялов С. С., Пекарская Н. К. и Максимиак Р. В. 1970. О физической сущности процессов деформирования и разрушения глинистых грунтов. Основания, фундаменты и механика грунтов, 1 : 7—9.
- Вялов С. С., Зарецкий Ю. К., Максимиак Р. В. и Пекарская Н. К., 1972. Проблемы структурной реологии грунтов. Инженерно-геологические свойства глинистых пород и процессы в них. Тр. Междунар. симпозиума в Москве. М., Изд. МГУ, 2 : 16—25.
- Вялов С. С., Зарецкий Ю. К., Максимиак Р. В. и Пекарская Н. К., 1973. Кинетика структурных деформаций и разрушения глин. Труды VIII Междунар. конгр. по механике грунтов и фундаментостроению, М., Стройиздат, 13—23.

<sup>1</sup> Старший инженер Лаборатории геомеханики ИГИС АН АрмССР.

<sup>2</sup> Senior Engineer, Laboratory of Geomechanics, IGES Armen. Ac. Sc.

- Глесстон С., Лейдер К. и Эйринг Г., 1948. Теория абсолютных скоростей реакции. М., Изд. иностр. лит.
- Зарецкий Ю. К. и Вялов С. С., 1971. Вопросы структурной механики глинистых грунтов. Основания, фундаменты и механика грунтов, 3 : 1—5.
- Тер-Степанян Г. И., 1948. О влиянии формы и расположения частиц на процесс сдвига в грунтах. Изв. АН АрмССР, ест. и техн. науки, 1(2) : 167—185.
- Тер-Степанян Г. И., 1976. Исследование ползучести глин при сдвиге. Проблемы геомеханики, Ереван, 7 : 18—49.
- Терцаги К., 1934. Строительная механика грунтов на основе его физических свойств. М.—Л., Госстройиздат.
- Mitchell J. K., 1964. Shearing resistance of soils as a rate process. Journ. Soil Mech. Found. Div. Am. Soc. Civ. Engrs. 90, SM1, 29—61.
- Mitchell J. K., Campanella R. G. & Singh A., 1968. Soil creep as a rate process. Journ. Soil Mech. Found. Div. Am. Soc. Civ. Engrs. 94(1):231—253.
- Murayama S. & Shibata T., 1958. On the rheological characters of clay. Disaster Prevention Research Institute, Kyoto University, Bull. 26:1—43.
- Murayama S. & Shibata S., 1961. Rheological properties of clay. Proc. 5th Intern. Conf. Soil Mech. Found. Engg., Paris, 1:269—273.
- Singh A. & Mitchell J. K., 1968. General stress-strain-time function for soils, Journ. Soil Mech. Found. Div. Am. Soc. Civ. Engr., 94(1):21—46.
- Ter-Stepanian G., 1975. Creep of a clay during shear and its rheological model. Géotechnique 25(2):299—320.
- Ter-Stepanian G., 1976. Equations of long-term creep of a clay during shear. Constitutive Equations of Soils. Spec. Sess. Ninth Intern. Conf. Soil Mech. Found. Engg., Tokyo, 245—254.
- Terzaghi K. 1931. The static rigidity of plastic clays. Journ. Rheol., 2(3):253—262.
- Tobolsky A. V. & Eyring H., 1943. Mechanical properties of polymeric materials, Journ. Chem. Phys., 11:125—134.